



## مطاعه عددی اثر نیروهای بین ذرات زیست توده با ابعاد بزرگ بر نحوه اختلاط پیش از احتراق

مهسا بقایی فر<sup>۱</sup>، مرتضی خیاط<sup>۲\*</sup>، محمد حسن نوبختی<sup>۳</sup>

۱- دانشجوی کارشناسی ارشد، گروه مهندسی مکانیک، واحد علوم و تحقیقات، دانشگاه آزاد اسلامی، تهران، ایران

۲- استادیار، گروه مهندسی مکانیک، واحد علوم و تحقیقات، دانشگاه آزاد اسلامی، تهران، ایران

۳- استادیار، گروه مهندسی مکانیک، واحد علوم و تحقیقات، دانشگاه آزاد اسلامی، تهران، ایران

\* تهران، صندوق پستی ۱۴۵۱۵-۷۷۵، mkhayat@srbiau.ac.ir

### چکیده

بهترین تکنولوژی برای تبدیل انرژی ذرات زیست توده به حرارت، استفاده از بستر شناوری است. در این مقاله نحوه اختلاط هسته‌های زیتون بعنوان زیست توده، پیش از احتراق بصورت عددی بررسی شده است. شبیه‌سازی عددی گازدهی زیست توده در بستر شناوری با استفاده از یک روش ترکیبی انجام شده است، به نحوی که معادلات حاکم بر فاز گاز در چارچوب اویلری حل گردیده و ذرات جامد بر اساس روش ذرات درون سلولی چند فازی<sup>۱</sup> به روش ترکیبی اویلری-lagrangian با رویکرد بسته تصادفی مدل‌سازی شده‌اند و تأثیر عوامل عملیاتی مانند سرعت ورودی گاز به بستر، نسبت دانسیته ذرات داخل بستر و اندازه ذرات داخل بستر، بر کیفیت اختلاط، مورد بررسی قرار گرفته‌اند. نتایج نشان می‌دهند که کیفیت اختلاط با افزایش سرعت ورودی به میزان هشت برابر کمترین سرعت شناوری، به عدد ۹۷/۰ و برای سرعت چهار برابر کمترین سرعت شناوری، به عدد ۸۵/۰ می‌رسد. با افزایش نسبت دانسیته ذرات زیست توده به ذرات ثابت بستر از ۰/۲ به ۰/۶۵، کیفیت اختلاط از عدد ۸۶/۰ به عدد ۹۶/۰ افزایش می‌یابد. همچنین با کاهش اندازه قطر ذرات زیست توده و ذرات بستر به ترتیب از ۱۱ میلی متر به ۸ میلی متر و ۹/۰ میلی متر به ۶/۰ میلی متر، کیفیت اختلاط از عدد ۸/۰ به عدد ۹۵/۰ افزایش می‌یابد. در نهایت سرعت گاز در بستر در زمان اختلاط کامل به عدد حدود ۲ متر بر ثانیه می‌رسد که سرعت مناسبی برای شناوری و اختلاط می‌باشد. با مقایسه نتایج با پژوهش‌های تقریباً مشابه انجام شده توسط سایر محققین، تطابق خوبی بین روند آن‌ها مشاهده شده است.

### اطلاعات مقاله

مقاله پژوهشی کامل

دریافت: ۱۳۹۹/۰۷/۰۱

پذیرش: ۱۴۰۰/۰۷/۰۱

ارائه در سایت: ۱۴۰۰/۰۷/۰۱

### کلیدواژگان

اختلاط

زیست توده

بستر شناوری حبابی

ذرات گروه گلدارت D

## Numerical study of the effect of inter-particle forces of large biomass on mixing before combustion

Mahsa baghaifar<sup>1</sup>, Morteza Khayat<sup>2\*</sup>, Mohammad Hasan Nobakhti<sup>3</sup>

1,2,3- Department of Mechanical Engineering, Science and Research Branch, Islamic Azad University, Tehran, Iran.

\* P.O.B. 14515-775 Tehran, Iran, mkhayat@srbiau.ac.ir

### Article Information

Original Research Paper

Received 19 August 2021

Accepted 15 February 2021

Available Online 10 June 2021

### ABSTRACT

The best technology to convert the energy of biomass particles into heat is to use a fluidized bed. In this paper, the olive kernels mixing method as large biomass before combustion is numerically investigated. Numerical simulation of biomass gasification in a fluidized bed has been performed

<sup>1</sup> Multi Phase Particle-In-Cell (MP-PIC)

Please cite this article using:

Mahsa baghaifar, Morteza Khayat, Mohammad Hasan Nobakhti, Numerical study of the effect of inter-particle forces of large biomass on mixing before combustion , *Journal of Mechanical Engineering and Vibration*, Vol. 12, No. 1, pp. 13-25, 2021 (In Persian)

برای ارجاع به این مقاله از عبارت ذیل استفاده نمایید:

**Keywords**

Mixing  
Biomass  
Fluidized bed  
Geldart group D particles

using a hybrid approach, in which the governing equations of the gas phase are solved in Eulerian framework and solid particles are modeled based on Multi Phase Particle-In-Cell (MP-PIC) using mixed Eulerian-Langerian method with closed-loop stochastic approach and the effect of operating factors such as gas velocity inlet to fluidized bed, particle density ratio and and particle size in fluidized bed on mixing quality have been investigated. The results show that the mixing quality reaches 0.97 by increasing the inlet velocity to eight times faster than the minimum fluidization velocity and 0.85 for the four times faster than the minimum fluidization velocity. Also by increasing the density ratio of biomass particles to fixed bed particles from 0.2 to 0.65, the mixing quality increases from 0.86 to 0.96. Furthermore, by reducing the diameter of biomass particles and fixed bed particles from 11 mm to 8 mm and 0.9 mm to 0.6 mm, respectively, the mixing quality increases from 0.8 to 0.95. Finally, the gas velocity in the bed at the time of complete mixing, reaches about 2 m/s, which is a good velocity for fluidization and mixing. By comparing the results with almost similar studies conducted by other researchers, a good agreement between them has been observed.

**تلاش می‌شود شرایط بهتری برای اختلاط در بستر شناوری**

برقرار شود و جدایی کاهش یابد [۳-۱].

علی‌رغم پیشرفت‌هایی که در زمینه روش‌های آزمایشگاهی صورت گرفته است اما هنوز اطلاعات کافی در زمینه دینامیک جریان سیال و نیروهای وارد بر ذرات جامد موجود نیست لذا در دو دهه گذشته محققان سعی کرده اند از طریق کارهای عددی، نتایج تحقیقات تجربی را نقد و تحلیل کنند. گرا و همکاران [۴] یک شبیه‌سازی دو بعدی از بستر شناوری با استفاده از روش اویلری-اویلری، شامل ذرات با دانسیته یکسان و اندازه متفاوت ارائه نمودند. نتایج آنها مطابقت خوبی با نتایج تجربی داشت. فن و فاکس [۵] از روش اویلری-اویلری، برای مدل کردن دو بعدی پدیده جدایش ذرات نامشابه در بستر شناوری استفاده کردند. نتایج آنها نشان داد، ذرات بزرگتر در لایه‌های پایینی بستر جمع می‌شوند و با افزایش سرعت شناوری نسبت به کمترین سرعت شناوری، کیفیت اختلاط بهتر می‌شود. گائو و همکاران [۶] مطالعات تجربی گستردگی، بهمراه شبیه‌سازی عددی سه بعدی اویلری-اویلری، برای بستر شناوری با دو نوع ذره با اندازه مختلف و دانسیته برابر، انجام دادند. آنها نتیجه گرفتند که جدایی با افزایش سرعت شناوری و کاهش نسبت جرمی ذرات کوچک، افزایش می‌یابد. فنچ و یو [۷] از یک مدل اویلری-lagrangian، برای بررسی پدیده اختلاط و جدایش در بستر شناوری، شامل ذراتی با دانسیته یکسان ولی اندازه متفاوت استفاده کردند. آنها پدیده اختلاط و جدایی را از طریق اطلاعاتی که در مورد نیروهای برخورد ذرات و نیروهای بین ذرات و سیال وجود دارد، تحلیل کردند. نتایج شبیه‌سازی نشان

**۱- مقدمه**

احساس خطر بشر از تمام شدن منابع انرژی سوخت‌های فسیلی با این که مهم‌ترین دلیل انتشار گازهای گلخانه‌ای و گرمتر شدن کره زمین و تعییرات آب و هوایی می‌باشد، باعث شده تمایل به استفاده از انرژی‌های تجدید پذیر که یکی از آن‌ها زیست توده می‌باشد، بیشتر شود. سالانه نزدیک به هشت هزار تن هسته زیتون با ارزش حرارتی بالا، در شهر رودبار دفن می‌شود. احتراق یا سوختن، مرسوم‌ترین روش برای بدست آوردن انرژی از ذرات زیست توده است. متدالوئین نون نوع سیستم‌های احتراقی که در نیروگاه‌های زیست توده استفاده می‌شوند، احتراق بستر ثابت<sup>۱</sup>، کوره‌های تعلیق<sup>۲</sup> و احتراق بستر شناوری<sup>۳</sup> هستند که از این میان، بستر شناوری بهترین تکنولوژی برای آزاد کردن انرژی ذرات زیست توده می‌باشد. در بسترهاش شناوری، ذرات سوخت زیست توده توسط جریان پر فشار گاز در محفظه بستر، شناور شده و سطح تماس آنها با اکسیژن بیشتر می‌شود که باعث نرخ انتقال حرارت یکنواخت و بالا و توزیع دمای یکنواخت پس از احتراق می‌گردد. یکی از مهم‌ترین مفاهیم هیدرودینامیک بستر شناوری که بر عملکرد فرایندهای مختلف احتراقی موثر است، پدیده اختلاط و جدایی ذرات جامد و اجزا گازی موجود در فرایند احتراق بستر شناوری می‌باشد. با افزایش سرعت جریان گاز ورودی به بستر نسبت به شرایط کمترین سرعت شناوری

<sup>1</sup> Fixed bed

<sup>2</sup> Suspension Burners

<sup>3</sup> Fluidized bed

۲ میلی‌متر با نرم‌افزار باراکودا<sup>۵</sup> و با استفاده از روش MP-PIC پرداختند. یانگ و همکاران [۱۷] به شبیه‌سازی سه بعدی بستر شناوری گازی‌سازی زیست‌توده با حلگر CCCHF<sup>۶</sup> نرم افزار اپن فوم و با کمک روش MP-PIC پرداختند. بیشترین قطر ذرات زیست توده مورد بررسی آن‌ها ۱/۸ میلی‌متر بود. ژو و همکاران [۱۸] مطالعه عددی روی گازی‌سازی زیست‌توده در بستر شناوری حبابی با نرم‌افزار اپن فوم و با روش MP-PIC انجام دادند و تأثیر توزیع گسترده اندازه ذرات بر عملکرد گازسنجی زیست‌توده را بررسی کردند. ذرات زیست‌توده مورد بررسی آن‌ها دارای ابعاد بین ۲۵۰ تا ۳۵۰ میکرومتر بود، که ذرات بسیار کوچکی بودند.

در مطالعه احتراق و اختلاط زیست‌توده در تمام تحقیقات انجام شده پیشین، هیچ‌گونه بررسی روی تأثیر انواع نیروهای بین ذرات زیست توده برای بزرگ‌ترین سایز ذرات گروه D گلدارت (مثل هسته زیتون) انجام نشده است بهطوری که اطلاعاتی در خصوص تأثیر انواع نیروها بر فرآیند اختلاط و پس از آن احتراق زیست‌توده که خود وابسته به متغیرهایی نظیر دما و فشار بستر، سرعت شناوری، دانسیته سیال و دانسیته ذرات می‌باشد، موجود نیست. معدهود تحقیقات انجام شده در این رابطه برای ذرات گروه‌هایی از گلدارت بوده که دارای ابعاد بسیار کوچک بوده‌اند. مطالعه نیروی ذرات به یکدیگر و همچنین نیروی بین ذرات و گاز که تحت پیدایش جدایی رخ می‌دهد، کمک بسیار زیادی به فهم و درک مکانیزم حاکم بر اختلاط و جدایی می‌کند. در تحقیق حاضر این نیروها برای ذرات با ابعاد بزرگ (هسته زیتون) به صورت عددی سه بعدی مدل‌سازی و تأثیر آن‌ها بر اختلاط پیش از احتراق توسط نرم افزار اپن فوم بررسی شده است. از آنجا که در بسترها غلیظ که تعداد برخوردهای بین ذرات زیاد و غیرقابل صرف‌نظر است، نتایج حاصل از خروجی‌های نرم‌افزار بدلیل عدم در نظر گرفتن نیروی بین ذرات در حلگر، قابل استناد تخواهد بود، لذا برای رفع این مشکل و بهینه‌کردن نتایج نرم‌افزار، در این تحقیق نیروی بین ذرات به کمک روش MP-PIC و ایجاد یک حلگر جدید با قابلیت اعمال نیروی بین ذرات به حلگر اولیه لاگرانژی موجود، به نرم‌افزار اپن فوم اضافه شد. در واقع شبیه‌سازی عددی گازدهی زیست‌توده در بستر شناوری با استفاده از یک رویکرد ترکیبی انجام شد، بهنحوی که معادلات حاکم بر فاز گاز در یک چارچوب اویلری و ذرات جامد بر اساس روش MP-PIC طبق روش ترکیبی اویلری-لاگرانژی با رویکرد بسته تصادفی مدل‌سازی شدند تا در بسترها شناوری

داد که افزایش درصد جرمی ذرات کوچک، باعث کاهش سرعت شناوری برای رسیدن به اختلاط با کیفیت بالا می‌شود. سینگ و همکاران [۸] بررسی کاملی از نحوه مدل‌سازی عددی برای مطالعه احتراق و گازی‌سازی در بستر شناوری انجام دادند. آن‌ها معادلات ریاضی حاکم بر جریان، انتقال حرارت و جرم سیال و واکنش‌های شیمیایی احتراق در بستر شناوری و سیستم گازی-سازی سیال را شرح دادند و مدل‌های اصلی و موثر عددی را معرفی نمودند. میائو و همکاران [۹] با بررسی تفصیلی مدل‌های موجود، به یک مدل ریاضی جدید برای مطالعه گازی‌سازی زیست‌توده در بستر شناوری دوار دست یافتند. کریم و ناصر [۱۰] از یک مدل عددی سه بعدی کامل برای تحلیل گذرا ای احتراق بستر شناوری استفاده کردند. آن‌ها بیان کردند مدل‌سازی عددی سیستم احتراق در مقایسه با تحلیل تجربی، دارای مزایایی است. کاردوسو و همکاران [۱۱] شبیه‌سازی دو بعدی و سه بعدی را در مقیاس آزمایشگاهی با استفاده از روش اویلری-اویلری چند فازی برای پیش‌بینی فرآیند گازی‌سازی در بستر شناوری حبابی انجام و نتایج آنها با آزمایشات تجربی گازی‌سازی و منحنی‌های شناوری موجود تطابق خوبی داشت. یانگ و همکاران [۱۲] هیدرودینامیک ذرات گلدارت A [۱۳]، را در بسترها شناوری جامد-گاز، با و بدون صفحات سوراخ‌دار با استفاده از روش MP-PIC بصورت عددی شبیه‌سازی کردند. نتایج آن‌ها نشان داد مدل درگ MSB<sup>۱</sup> بهترین عملکرد را دارد و تطابق قابل قبولی با نتایج تجربی داشت.

اکایشی و همکاران [۱۴] به شبیه‌سازی عددی گازی‌سازی زیست‌توده در بستر شناوری حبابی با حلگر ۲DPM و استفاده از روش MP-PIC به منظور بررسی بهترین شکل صفحه سوراخ‌دار کف بستر برای داشتن بهترین عملکرد گازی‌سازی پرداختند و مشاهدات آن‌ها نشان داد صفحه مثلثی بهترین عملکرد را دارد. کادیرو و همکاران [۱۵] به بررسی و شبیه‌سازی سه مدل نیروی درگ در بستر شناوری حبابی با نرم‌افزار اپن فوم<sup>۲</sup>، با حلگر DPM و استفاده از روش MP-PIC پرداختند. نتایج آنها نشان داد مدل درگ<sup>۳</sup> با داده آزمایشی موجود توافق خوبی داشت. کونگ و همکاران [۱۶] به شبیه‌سازی عددی بستر شناوری دوگانه ذرات زیست توده از جنس پوسته برنج با دانسیته ۷۵۰ کیلوگرم بر متر مکعب و توزیع اندازه ذرات ۰/۸ تا

<sup>1</sup> Modified Structure-Based<sup>2</sup> Discrete Phase Model<sup>3</sup> OpenFOAM<sup>4</sup> Energy Minimization Multi-scale/ Discrete Particle

برابر فشار اتمسفر، دمای اولیه تمامی ذرات زیست توده برابر ۲۷ درجه سلسیوس و دمای اولیه ذرات ثابت بستر با پیش گرمایش معادل ۸۵۰ درجه سلسیوس در نظر گرفته شده است.

معادلات پیوستگی و منتم فاز گازی برای جریان گاز در بستر شناوری به ترتیب طبق روابط (۱) و (۲) می‌باشند.

$$\frac{\partial(\theta_g \rho_g)}{\partial t} + \nabla \cdot (\theta_g \rho_g u_g) = \delta \dot{m}_s \quad (1)$$

$$\begin{aligned} \frac{\partial(\theta_g \rho_g u_g)}{\partial t} + \nabla \cdot (\theta_g \rho_g u_g u_g) \\ = -\theta_g \nabla P + F + \theta_g g \\ + \nabla \cdot (\theta_g \tau_g) \end{aligned} \quad (2)$$

که در رابطه (۲)،  $\tau_g$  از رابطه (۳) محاسبه می‌شود.

$$\tau_{g,ij} = \mu_g \left( \frac{\partial u_i}{\partial x_j} + \frac{\partial u_j}{\partial x_i} \right) - \frac{2}{3} \mu_g \delta_{ij} \frac{\partial u_k}{\partial x_k} \quad (3)$$

معادله انرژی فاز گازی مطابق رابطه (۴) می‌باشد.

$$\begin{aligned} \frac{\partial(\theta_g \rho_g h_g)}{\partial t} + \nabla \cdot (\theta_g \rho_g u_g h_g) \\ = \nabla \cdot (\lambda_g \theta_g \nabla T_g) \\ + \theta_g \left( \frac{\partial P}{\partial t} + u_g \cdot \nabla p \right) + \phi + \dot{q}_D \\ + \dot{Q} + S_h + S_{h,p} \end{aligned} \quad (4)$$

حرکت ذرات جامد از طریق روش MP-PIC مورد بررسی قرار گرفته است. این رویکرد برای کاهش تعداد کل ذرات محاسباتی از مفهوم بسته استفاده می‌کند زیرا یک بسته می‌تواند چندین ذره واقعی دارای خصوصیات یکسان مانند اندازه، سرعت، موقعیت، دما و ترکیب را نشان دهد [۱۹]. در این روش، پویایی ذرات با حل معادله انتقال از شیوه توابع توزیع ذرات،  $f$  مطابق رابطه (۵) محاسبه می‌شود، که موقعیت مکانی  $x_s$  سرعت ذرات  $u_s$ ، جرم ذرات  $m_s$  و زمان  $t$  توزیع ذرات را می‌توان با حل این معادله حاکم به روز کرد [۲۰]. بر اساس این معادله، معادلات توده ذرات زنجیره‌ای و حرکت در شبکه اویلری را می‌توان بدست آورد. پس از اینکه معادلات شبکه حل شدن، سرعت گاز موضعی، گرادیان فشار گاز و گرادیان تنفس جامد به قسمت‌های ذرات برگردانده شده و سرعت ذرات را می‌توان به راحتی به روز کرد.

$$\frac{\partial f}{\partial t} + \frac{\partial(f u_s)}{\partial x} + \frac{\partial(f A)}{\partial u_s} = \frac{f_D - f}{T_D} \quad (5)$$

شتاب ذرات براساس رابطه (۶) محاسبه می‌شود.

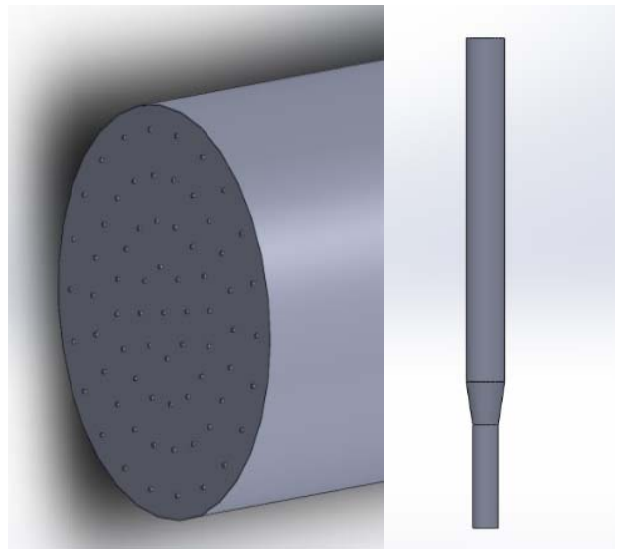
$$A = \frac{du_s}{dt} = D_s(u_g - u_s) - \frac{\nabla p}{\rho_s} - \frac{\nabla \tau_s}{\theta_s \rho_s} + g + F_s \quad (6)$$

غلظیظ هم نتایج به واقعیت نزدیکتر شوند. همچنین اثر تعدادی از عوامل عملیاتی نظری سرعت جریان ورودی به بستر، نسبت دانسیته ذرات در بستر و اندازه ذرات موجود در بستر، بر کیفیت اختلاط بررسی شدند.

## ۲- مدلسازی اختلاط زیست توده

### ۲-۱- معرفی دامنه حل

هندسه مساله یک استوانه با یک تبدیل در طول آن است. طول قسمت پایین استوانه  $1/2$  متر با قطر  $300$  میلی‌متر، طول قسمت میانی (بخش تبدیل)  $5/0$  متر و طول و قطر بخش بالایی  $1$  مدل به ترتیب  $3/5$  متر و  $450$  میلی‌متر می‌باشند. در شکل ۱ نمایی از هندسه مساله بهمراه طرح صفحه سوراخ دار کف بستر مشکل از  $88$  سوراخ هر کدام به قطر  $3$  میلی‌متر، نشان داده شده است. با وجود تبدیلی که بین بستر شناوری و سطح آزاد بستر قرار دارد، قطر بستر به صورت تدریجی افزایش می‌یابد تا از این طریق سرعت افزایش یافته جریان در بستر در اثر احتراق، کاهش یافته تا گازهای فرار احتراق نیافته در بستر با سرعت کم در سطح آزاد به سمت دودکش حرکت کنند و فرصت احتراق در سطح آزاد بستر را داشته باشند. از این طریق همه انرژی قبل از خروج مواد احتراق نیافته از بستر آزاد شده و بازده به حداکثر مقدار ممکن افزایش می‌یابد.



شکل ۱ نمایی از هندسه بستر شناوری حبابی به همراه طرح سوراخ دار کف بستر

### ۲-۲- فرضیات و معادلات حاکم

در این شبیه سازی عددی سه بعدی، رژیم جریان آشفته، غیردائم و تراکم‌پذیر فرض شده است. فشار اولیه یکنواخت و

### ۲-۳- شرایط مرزی و روش حل عددی

حلگر ابتدایی مورد استفاده با توجه به شرایط مساله، حلگر CCHF است که یک حلگر لاگرانژی است. علت استفاده از این حلگر علاوه بر مناسب بودن برای رژیم جریان آشفته، غیر دائم و تراکم‌پذیر، بزرگ بودن اندازه ذرات زیست توده در تحقیق حاضر و همچنین نیاز به بررسی اثر نیروهای بین ذرات است. این حلگر پس از اعمال تغییراتی در کد آن، به حلگر جدیدی به نام  $^{CCCHF}$ <sup>۴</sup> ذخیره گردید به نحوی که بتواند نیروی بین ذرات را اعمال نماید. بنابراین در روش اویلری- لاگرانژی بکار رفته در این تحقیق، فاز گاز به عنوان یک فاز پیوسته و فاز جامد به عنوان یک فاز گسسته عمل می‌کند. معادلات اویلری فاز گازی با استفاده از روش حجم محدود<sup>۵</sup> حل شده و ذرات جامد براساس روش بسته تصادفی لاگرانژی ر دیایی شده‌اند. همچنین در شبیه‌سازی جریان جامد- گاز معمولاً از روش اتصال چهار طرفه که هم تعامل بین گاز و ذرات و هم برخورد بین ذرات را در نظر می‌گیرد، استفاده شده است.

حلگر اولیه شامل سه زیر پوشه با نام‌های صفر، سیستم و ثوابت می‌باشد. در زیر پوشه صفر مقادیر اولیه و مرزی قرار دارند که برای مساله حاضر در شروع احتراق در محفظه احتراق فقط هوا وجود دارد و از آنجایی که در ابتدا در ورودی محفظه احتراق هیچ گونه سوخت  $CH_4$  به صورت گازی وجود ندارد، مقدار آن در شروع حل صفر در نظر گرفته شده است. شرط مرزی ورودی از نوع نیومن برای سرعت است. اما برای خروجی چون سرعت مشخص نیست و از طرفی جریان خروجی به محیط اتمسفر تخلیه می‌شود، شرط دیریکله حاکم است.

دمای ورودی هوا  $300$  کلوین، دمای میانگین کوره با توجه به پژوهش‌های قبلی انجام شده، برابر  $850$  درجه سلسیوس و نرخ ورود ذرات زیست توده به بستر  $10$  گرم بر ثانیه در نظر گرفته شده است. در حلگر جدید  $CCCHF$  تغییری در پوشی صفر مساله ایجاد نگردید.

در پوشه ثوابت هندسه مساله و خواص فیزیکی قرار می- گیرند. دانسیته و قطر ذرات زیست توده (هسته زیتون) و ذرات ثابت بستر به کار برده شده در مدل‌سازی (آلومینا) مطابق جدول ۱ می‌باشند.

ساختار شیمیابی ماده ثابت بستر باید به شکلی باشد که با مواد قبل از احتراق، مثل سوخت‌های زیست توده و هوا و نیز مواد بعد از احتراق، نظیر مواد تشکیل‌دهنده خاکستر و گازهای احتراقی،

برای محاسبه نیروی ضربی انتقال حرکت بین فازها  $D_s$  از ترکیب معادلات ارگان<sup>۱</sup>، ون<sup>۲</sup> و یو<sup>۳</sup> مطابق رابطه (۷) استفاده می- شود و معادله ارگان زمانی مورد استفاده قرار می‌گیرد که  $\theta_s$  بزرگتر از  $۰/۲$  شود [۲۱].

$$D_s = \begin{cases} \frac{3}{4} C_d \frac{\theta_s \rho_g}{d_p} |u_g - u_s| \theta_g^{-2.65} & \theta_g \geq 0.8 \\ 150 \frac{\theta_s^2 \mu_g}{\theta_g^2 d_p^2} + 1.75 \frac{\theta_s \rho_g}{\theta_g d_p} |u_g - u_s| & \theta_g < 0.8 \end{cases} \quad (7)$$

$$C_d = \begin{cases} \frac{24}{Re_p} (1 + 0.15 Re_p^{0.687}) & Re_p < 1000 \\ 0.44 & Re_p \geq 1000 \end{cases}$$

$$Re_p = \theta_g \rho_g d_p |u_g - u_s| / \mu_g$$

کسر حجم ذره از رابطه (۸) محاسبه می‌شود.

$$\theta_s = 1 - \theta_g = \iint f \frac{m_s}{\rho_g} d_m d_{us} \quad (8)$$

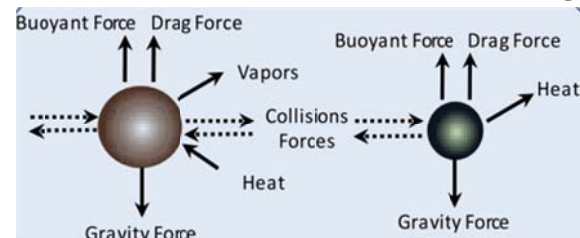
تنش (فشار) نرمال ذره مطابق رابطه (۹) بدست می‌آید.

$$\tau_s = \frac{P_s \theta_s^\beta}{\max[\theta_{cp-\theta_s}, \gamma(1-\theta_s)]} \delta \quad (9)$$

نرخ انتقال حرکت بین فاز، از رابطه (۱۰) محاسبه می‌شود.

$$F = \iint f m_s \left[ D_s (u_g - u_s) - \frac{V_p}{\rho_s} \right] dm_s du_s \quad (10)$$

شکل ۲ نیروهای وارد بر ذرات در بستر شناوری را نشان می‌دهد.



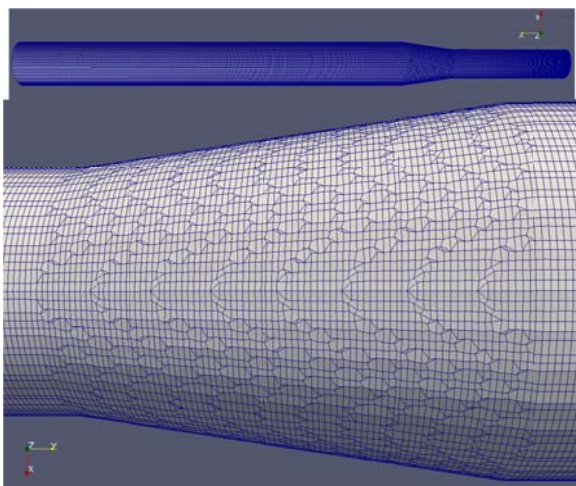
شکل ۲ نیروهای موثر بر ذرات در بستر شناوری [۲۲]

<sup>۴</sup> Coal Colliding Chemistry Foam  
<sup>۵</sup> Finite Volume Method

<sup>۱</sup> Ergun  
<sup>۲</sup> Wen  
<sup>۳</sup> Yu

از آنجایی که کد نوشته شده برای حلگر جدید بسیار سنگین بود و حجم اطلاعات خروجی بسیار بالایی نیاز داشت، یک سور ابرایانه ۱۲ هسته‌ای از نوع SSD و حجم دیسک ۲۰۰ گیگابایت تهیه و حل مساله با آن انجام گرفت. تعداد هسته‌های سیستم استفاده شده در پوشه سیستم حلگر جدید اضافه شد.

**۴-۲- بررسی عدم وابستگی به شبکه**  
نمایی از شبکه‌بندی هندسه مساله با استفاده از مشاهی هگزاهدرون در شکل ۳ نشان داده شده است. قسمت میانی همانطور که مشاهده می‌شود دارای مش سازمان‌نیافته است.



شکل ۳ نمایی از شبکه‌بندی هندسه مساله

پارامترهای اصلی در تحقیق حاضر سرعت، دما و فشار می- باشند که برای بررسی استقلال از شبکه به ازای تغییر در تعداد المان‌های شبکه، مقدار سرعت در سه نقطه مختلف از بستر در ارتفاع‌های مختلف ۰/۰۵ متر، ۰/۱ متر و ۰/۵ متر از ورودی مدل در ثانیه پنجم اختلاط کامل مطابق شکل ۴ گزارش شده است. مطابق این شکل تغییرات بسیار کم و نامحسوس در سرعت برای نقاط مختلف، به عنوان یکی از خروجی‌های مهم این مساله، مبین مستقل از شبکه بودن مطالعه حاضر است و شبکه‌بندی شماره ۲ با تعداد ۲۰۰۹۲۶ المان بعنوان شبکه حل انتخاب گردید. به این ترتیب در وقت و هزینه صرفه‌جویی صورت گرفت و بهترین شبکه‌بندی نیز لحاظ شد.

واکنش ندهد و صرفاً به دلیل مشخصات فیزیکی مثل اندازه، دانسیته و ظرفیت گرمایی ویژه سبب بالا رفتن کیفیت ااختلاط، انتقال حرارت و بازده احتراق گردد. در تحقیق حاضر ذرات آلومینا به عنوان ذرات ثابت بستر انتخاب شدند چرا که با فلزات قلیایی حتی در دماهای بالا، به سختی واکنش می‌دهد.

در نهایت میانگینی از دانسیته ظاهری و واقعی آلومینا معادل ۲۷۶۰ کیلوگرم بر متر مکعب به عنوان ورودی در نظر گرفته شد.

جدول ۱ دانسیته ذرات زیست توده (هسته زیتون) و ذرات ثابت بستر (آلومینا)

دانسیته ظاهری kg/m <sup>3</sup>	دانسیته واقعی kg/m <sup>3</sup>	قطر ماده (با فرض کروی) mm	نام ماده
---	۱۰۷۶	۸	هسته زیتون
۱۶۵۰	۳۹۰۰	۰/۹	آلومینای سفید

پوشه سیستم شامل فایل‌های مختلفی است که به تنظیمات زمان شروع، زمان پایان، گام زمانی حل، گام تکرار، نحوه گسترش‌سازی عملگرهای دیفرانسیلی، مقادیر باقیمانده‌ها، تعداد تکرارهای حل، میزان خط، نحوه حل دستگاه معادلات خطی، تنظیمات مربوط به حل موازی در نرم‌افزار اپن‌فوم، تنظیمات ابعاد شبکه و هندسه مساله، مختصات راس‌ها و بلوک‌ها و صفحات مرزی مرتبط می‌شود. در حلگر جدید CCCC HF برای اعمال نیروی بین ذرات، دو کلاد<sup>۱</sup> جدید تعریف شد که ویژگی‌های حلگر

MP-PIC را با خود به همراه دارند چراکه حلگر اولیه بر اساس جریان‌های رقیق از فعل و انفعالات بین ذرات جامد چشم پوشی می‌کند. نهایتاً اینکه کلاد سینماتیک<sup>۲</sup> برای حرکت ذرات، کلاد دمایی<sup>۳</sup> برای انتقال گرما، کلاد واکنشی<sup>۴</sup> برای تبخیر مایع و تغییر فاز و کلاد واکنشی چند فازی<sup>۵</sup> برای واکنش سطح ذرات جامد در حلگر جدید بکار گرفته شدند.

<sup>1</sup> Residuals

<sup>2</sup> Coal Colliding Cloud & Basic Thermo Colliding Cloud

<sup>3</sup> Kinematic Cloud

<sup>4</sup> Thermo Cloud

<sup>5</sup> Reacting Cloud

<sup>6</sup> Reacting Multiphase Cloud

$$u_{mf} = \left( \frac{\mu_f}{d_p \rho_f} \right) [[25.3^2 + 0.0651 Ar]^{0.5} - 25.3] \quad (12)$$

که در آن  $Ar$  عدد ارشمیدس است و از رابطه (۱۳) بدست می‌آید.

$$Ar = \frac{d_p^3 \rho_g (\rho_s - \rho_g) g}{\mu_f^2} \quad (13)$$

با توجه به اینکه در دمای کوره که ۸۵۰ درجه سلسیوس است، دانسیته و ویسکوزیته دینامیکی هوا به ترتیب  $0.4405 \text{ kg/m}^3$

$-5$  کیلوگرم بر متر مکعب و  $10^{-5} \times 3/625$  کیلوگرم بر متر ثانیه می‌باشدند، سرعت شناوری برای قطرهای مختلف ذره آلومینا مطابق جدول ۲ بدست آمده است.

جدول ۲ سرعت شناوری برای قطرهای مختلف ذره آلومینا

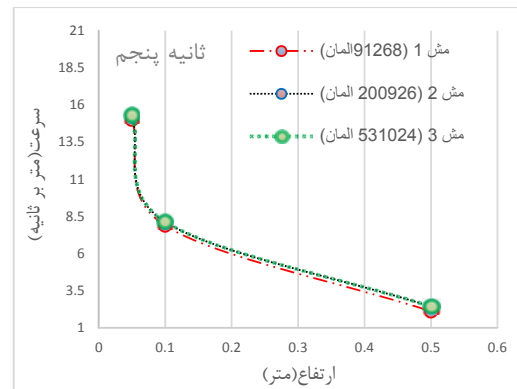
می‌نیم سرعت شناوری (m/s)	Ar	قطر ماده (با فرض کروی) mm	نوع ذرات جامد بستر
۰/۲۹۸	۲۰۱۴/۴	۰/۶	آلومینا
۰/۸۱۸	۹۳۲۵/۹	۰/۹	آلومینا

مطابق تحقیقات تجربی دیویدسون و هریسو [۲۵]، سرعت حد در بسترهای شناوری ذرات درشت، تقریباً ده برابر مینیمم سرعت شناوری ذرات می‌باشد.

#### ۴- نتایج و بحث

طبق نتایج شبیه‌سازی عددی سه‌بعدی، جت‌های ایجاد شده ناشی از وجود سوراخ‌های ورودی بستر، دقیقاً در محل سوراخ‌ها با سرعتی حدود ۸۱ متر بر ثانیه وارد فضای بستر می‌شوند. مطابق جدول ۲ کمترین سرعت شناوری برای ذره بستر آلومینا با قطر  $۰/۶$  میلی‌متر، برابر  $۰/۲۹۸$  متر بر ثانیه و بیشترین سرعت شناوری برای این ذره  $۰/۳۸$  متر بر ثانیه می‌باشد.

با توجه به نتایج شبیه‌سازی که سرعت در ناحیه دور از سوراخ‌ها تا حدود ارتفاع  $۰/۱۶$  متری (نتهای جت) به مکریم مقدار  $۲$  متر بر ثانیه می‌رسد، این سرعت، سرعت ایده‌آلی برای رسیدن به ااختلاط مناسب در بستر است. نماهای مختلف کانتورهای سرعت در زمان ااختلاط کامل، در شکل ۵ نشان داده شده است. شکل آخر در مجموعه شکل‌های ۵، نمایشگر یکی



شکل ۴ تغییرات سرعت در سه ارتفاع مختلف از بستر برای شبکه‌بندی‌های مختلف

#### ۳- شاخص ااختلاط و تعیین سرعت شناوری

نسبت ذرات بزرگ‌تر و سنگین‌تر در قسمت فوقانی بستر به مقدار کل این ذرات در بستر شناوری، به عنوان شاخص ااختلاط تعريف شده و از رابطه (۱۱) بدست می‌آید.

$$MI = \frac{x_U}{x_T} \quad (11)$$

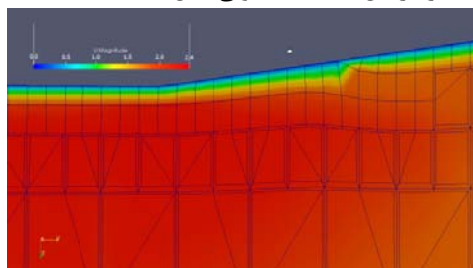
$MI = ۰$  نشان دهنده جدایش کامل و  $۱ = MI$  نشان دهنده ااختلاط کامل می‌باشد. در این تحقیق برای بررسی کیفیت ااختلاط در بستر شناوری از این شاخص استفاده شده است.

برای شناوری ذرات زیست توده در جریان هوا، سرعت جریان هوا بایستی بزرگ‌تر یا حداقل مساوی کمترین سرعت شناوری باشد و از طرفی دبی هوا باید مقداری داشته باشد تا رژیم حبابی که بهترین ااختلاط را نتیجه می‌دهد، ایجاد شود.

در تحقیق حاضر، ذرات جامد بستر شناوری از دو نوع ذره هسته زیتون و آلومینا تشکیل شده‌اند. روابط موجود برای محاسبه سرعت شناوری فقط برای بستری که از یک نوع ذره جامد تشکیل شده است، می‌باشند. مطابق تحقیقات سان و همکاران [۲۳]، در موقعي که درصد جرمی ذرات زیست توده به ذرات ثابت بستر، کمتر از  $۵\%$  می‌باشد، مقدار مینیمم سرعت شناوری بستر با دو نوع ذره جامد، بسیار نزدیک به مینیمم سرعت شناوری بستری است که فقط شامل ذرات ثابت می‌باشد. بنابراین حد پایین سرعت شناوری در تحقیق حاضر، برابر مینیمم سرعت شناوری ذرات آلومینا، فرض شد.

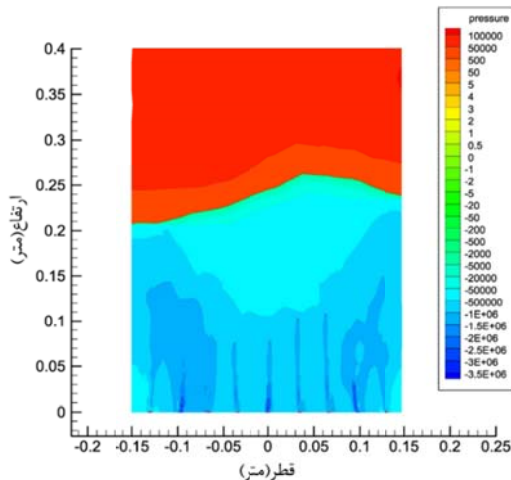
با توجه به اینکه ذرات مورد استفاده در کار حاضر، از گروه D گلدارت انتخاب شده‌اند برای محاسبه مینیمم سرعت شناوری بستری که فقط شامل ذرات آلومینا است، از رابطه تجربی (۱۲) استفاده گردید [۲۴].

حاکی از مدلسازی دقیق و شبکه‌بندی مناسب نواحی کنار دیوارهای می‌باشد. همچنین شرط عدم لغزش در دیوارهای سرعت صفر در این ناحیه، به خوبی قابل مشاهده است.



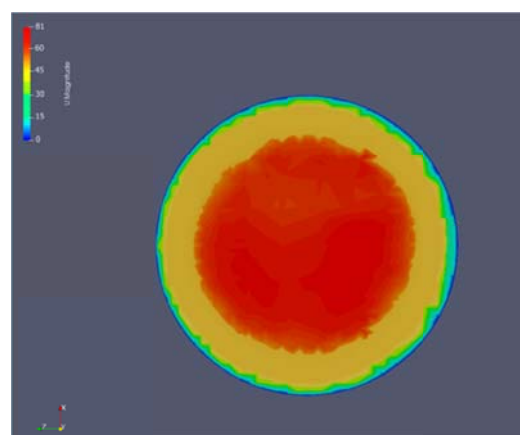
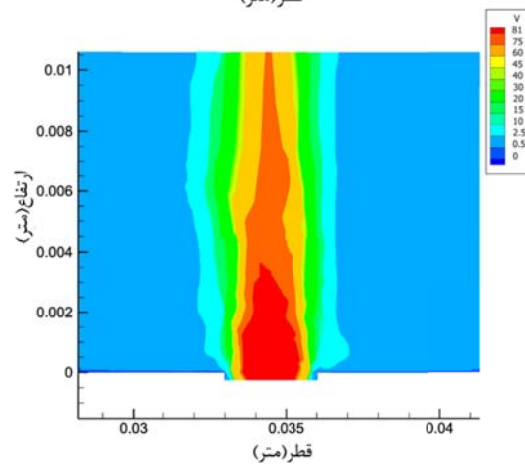
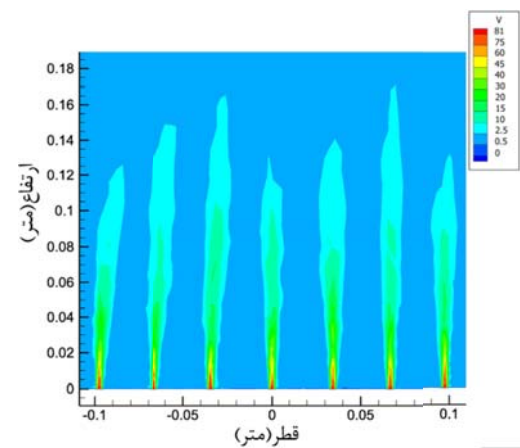
شکل ۶ نمایش لایه مرزی سرعت و بیان شرط عدم لغزش در یک برش از مدل

نماهای مختلف کانتورهای فشار در زمان اختلاط کامل، در شکل ۷ نشان داده شده است. همان‌طور که مشاهده می‌شود فشار در کنارهای دیوار نسبت به مرکز بیشتر است چرا که سرعت در کنارهای دیوار کمتر می‌باشد و به تدریج با نزدیک شدن به مرکز افزایش می‌یابد. در مقاطع دور از سوراخ‌های ورودی، فشار برابر با فشار اتمسفر در خروجی می‌شود.



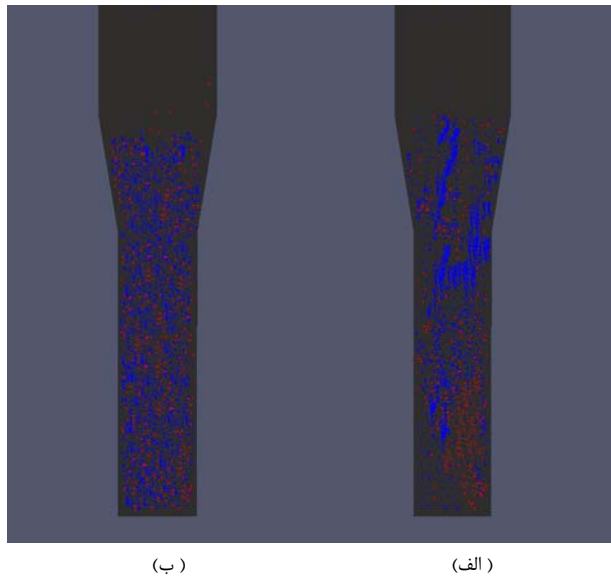
شکل ۷ نماهای مختلف کانتورهای فشار در بستر شناوری در بخشی از یک برش طولی و عرضی از بستر

از سوراخ‌های ورودی است. همان‌طور که مشاهده می‌شود سرعت در مرکز سوراخ دارای بیشترین مقدار و در کنارهای دیوارهای سوراخ به مقدار صفر رسیده است.



شکل ۵ نماهای مختلف کانتورهای سرعت در بستر شناوری در بخشی از یک برش طولی و عرضی از بستر

شکل ۶ نمایی از تغییرات سرعت را که از صفر تا  $1/5$  متر بر ثانیه در عرض لایه مرزی تغییر می‌کند را نشان می‌دهد، که



(ب)

(الف)

**شکل ۹** میزان اختلاط ذرات بستر در ثانیه پنجم حل در یک برشی عمودی از مدل (الف) بدون در نظر گرفتن نیروی بین ذرات (ب) با در نظر گرفتن نیروی بین ذرات

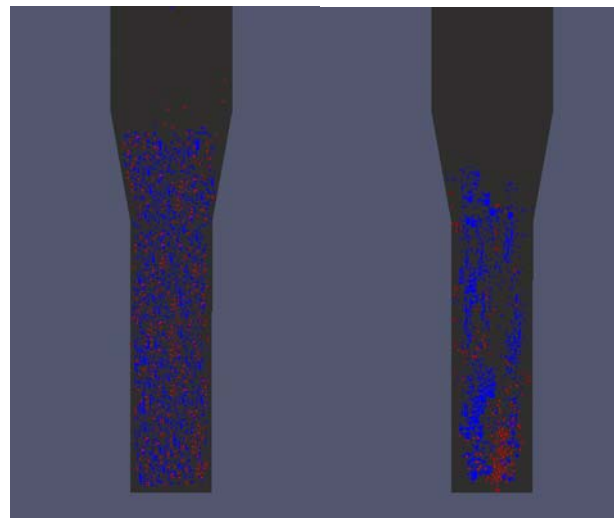
در جدول ۳ مقایسه کمی کیفیت اختلاط با درنظر گرفتن نیروی بین ذرات (حلگر جدید) و بدون درنظر گرفتن این نیروها (حلگر اولیه) نشان داده شده است. همانطور که در این جدول مشاهده می‌شود با در نظر گرفتن نیروی بین ذرات میزان اختلاط ذرات داخل بستر شناوری افزایش قابل توجهی داشته است.

**جدول ۳** مقایسه کیفیت اختلاط با درنظر گرفتن نیروی بین ذرات و بدون درنظر گرفتن این نیروها

MI با در نظر گرفتن نیروی بین ذرات	MI بدون در نظر گرفتن نیروی بین ذرات	زمان حل (S)
۰/۱۴	۰/۱	۱
۰/۳	۰/۲۱	۲
۰/۴۳	۰/۳۶	۳
۰/۶۹	۰/۵	۴
۰/۹۵	۰/۸	۵

برای بررسی تأثیر سرعت بر میزان اختلاط در بستر شناوری تحقیق حاضر، سه سرعت برای جریان ورودی به بستر در نظر گرفته شد. این سرعت‌ها،  $U_m$ ,  $8 U_m$ ,  $6 U_m$  و  $4 U_m$  یعنی به ترتیب هشت، شش و چهار برابر کمترین میزان سرعت برای

شکل ۸ به عنوان نمونه‌ای از حالت‌های حل شده، میزان اختلاط ذرات بستر را با در نظر گرفتن نیروی بین ذرات در ثانیه‌های چهارم و پنجم حل در یک برشی عمودی از مدل سه بعدی نشان می‌دهد. ذرات آبی رنگ ذرات ثابت بستر (آلومینا) و ذرات قرمز رنگ ذرات زیست توده (هسته زیتون) می‌باشند. همانطور که در این شکل مشاهده می‌شود، میزان کسر حجمی مواد بستر در ناحیه پایینی بستر شناوری بیشترین مقدار خود را دارد. در ثانیه پنجم تقریباً اختلاط کامل حاصل شده است. همچنین در زمان اختلاط کامل فقط تعداد بسیار کمی از ذرات بایومس در بخش بالایی بستر قرار دارند و هیچ یک از ذرات ثابت بستر در این قسمت وجود ندارند. علت این مطلب این است که ذرات بستر بسیار بسیار سنگین‌تر از ذرات زیست توده می‌باشند.



(ب)

(الف)

**شکل ۸** میزان اختلاط ذرات بستر با در نظر گرفتن نیروی بین ذرات در یک برشی عمودی از مدل (الف) ثانیه چهارم حل (ب) ثانیه پنجم حل

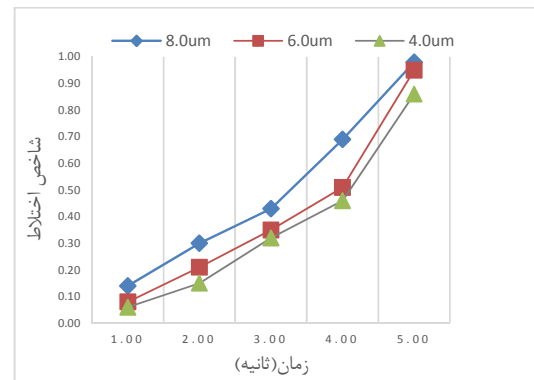
جهت نشان دادن تأثیر در نظر گرفتن نیروی بین ذرات بر مدلسازی اختلاط، به عنوان نمونه‌ای از حالت‌های حل شده، در شکل ۹ مقایسه بین میزان اختلاط در ثانیه پنجم حل برای دو حالت بدون در نظر گرفتن نیروی بین ذرات و با در نظر گرفتن این نیروها به صورت کیفی نشان داده شده است.

برای بررسی تأثیر نسبت دانسیته ذرات زیست توده به دانسیته ذرات ثابت بستر (که با  $m^*$  نشان داده می‌شود) بر کیفیت ااختلاط،  $m^*$  های  $0.065$ ،  $0.04$  و  $0.02$  در نظر گرفته شد و نتایج در شکل ۱۲ نشان داده شده است. طبق این شکل مشاهده می‌شود با افزایش زمان در تمام  $m^*$  ها، پایداری در کیفیت ااختلاط ایجاد می‌شود. همچنین با افزایش میزان  $m^*$ ، کیفیت ااختلاط افزایش می‌یابد. علت این امر این است که با نزدیک شدن دانسیته ذرات زیست توده و ذرات ثابت بستر، نیروی‌های موجود در بستر شناوری شامل نیروهای شناوری، وزن و نیروی ناشی از ممتنم ذرات که به ذرات زیست توده وارد شوند، به پکدیگر غلبه کرده و شناوری و ااختلاط بهتری را فراهم می‌آورد. در واقع نیروی شناوری برابر با حاصلضرب دانسیته فاز امولسیون، حجم ذره‌ای که شناور می‌شود و شتاب ثقل است. دانسیته فاز امولسیون، ناشی از دانسیته ذرات ثابت بستر و دانسیته هوا در داخل بستر است و دانسیته هوا در مقابل دانسیته ذرات ثابت بستر قابل اغماض است. پس هرچه  $m^*$  بزرگ‌تر باشد این نیروها که در دو جهت مختلف بوده، یکدیگر را خنثی می‌کنند و باعث شناور ماندن ذرات بایوس و بهبود عملکرد ااختلاط و پس از آن احتراق می‌گرددند. طبق شکل ۱۲، با افزایش  $m^*$  از  $0.02$  به  $0.065$ ، شاخص کیفیت ااختلاط از عدد  $0.086$  به  $0.096$  افزایش یافته است.

برای بررسی تأثیر اندازه ذرات بستر بر کیفیت ااختلاط در بستر شناوری،  $4$  حالت مختلف ذرات زیست توده با قطرهای  $8$  و  $11$  میلی‌متر و ذرات ثابت بستر با قطرهای  $0.06$  و  $0.09$  میلی‌متر در نظر گرفته شدند و کیفیت ااختلاط بین زمان‌های  $5$  تا  $6.1$  ثانیه که بیشترین میزان اختلاط وجود داشت، در هر کدام از حالت‌های ترکیبی بررسی شد. نتایج نشان داد کاهش اندازه ذرات و نزدیک شدن اندازه ذرات بستر و ذرات زیست توده به یکدیگر، میزان کیفیت ااختلاط افزایش قابل توجهی دارد. علت این امر خنثی شدن نیروهای داخل بستر و بهبود شناوری ذرات زیست توده می‌باشد.

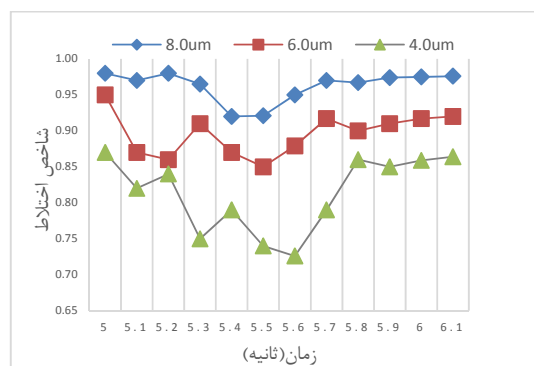
شکل ۱۳ تأثیر اندازه ذرات بستر بر کیفیت ااختلاط در بستر شناوری را نشان می‌دهد. برای ذرات زیست توده به قطر  $8$  میلی‌متر و ذرات ثابت بستر به قطر  $0.06$  میلی‌متر، که دارای کوچکترین ابعاد بودند، کیفیت ااختلاط بیشترین مقدار یعنی  $0.095$  می‌باشد و این عدد برای ذرات زیست توده به قطر  $11$  میلی‌متر و ذرات ثابت بستر به قطر  $0.09$  میلی‌متر،  $0.08$  شده است.

شناوری ذرات انتخاب شدند. شکل ۱۰ اثر افزایش سرعت ورودی بر اختلاط را نشان می‌دهد. همانطور که در این شکل مشاهده می‌شود با افزایش سرعت، ااختلاط در بستر بیشتر شده است، زیرا افزایش سرعت باعث افزایش نیروهای بین ذرات و همچنین ذرات با دیواره در محفظه شده و تعداد برخوردها بیشتر می‌شود.



شکل ۱۰ اثر سرعت ورودی بر کیفیت ااختلاط

در تمام حالت‌های حل شده، شاخص ااختلاط دچار نوساناتی در طی زمان تا رسیدن به حالت پایدار اختلاطی برای هر سه سرعت ذکر شده می‌باشد. طبق نتایج حل، مشاهده شد که زمان رسیدن به پایدار نسبی در کیفیت ااختلاط، با افزایش سرعت ورودی، کاهش پیدا می‌کند. به طوری که در سرعت  $U_m = 8$  زمان کمتری برای رسیدن به پایداری در ااختلاط لازم است. می‌توان گفت انتخاب صحیح سرعت در ورودی، مهمترین پارامتر در بهبود کیفیت ااختلاط و احتراق ذرات زیست توده در بستر شناوری می‌باشد و می‌تواند بازده احتراق را افزایش دهد. شکل ۱۱ اثر سرعت ورودی بر پایداری در ااختلاط را نشان می‌دهد.



شکل ۱۱ اثر سرعت ورودی بر پایداری در ااختلاط

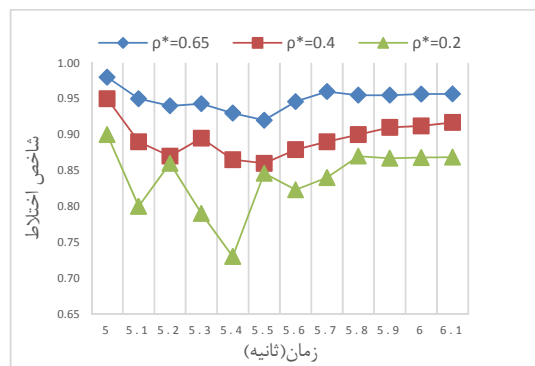
**جدول ۴** مقایسه نتایج تاثیر اندازه ذرات بر کیفیت ااختلاط پژوهش کاردوسو و همکاران [۱۱] و تحقیق حاضر

کیفیت ااختلاط <i>MI</i>	قطر زیست توده (mm)	قطر ذره ثابت بستر (mm)	نام تحقیق
۰/۹۵	۸	۰/۶	تحقیق حاضر زیست توده: هسته ذره ثابت بستر: آلومینا
	۸	۰/۹	
۰/۸۶	۱۱	۰/۶	
	۱۱	۰/۹	
۰/۸۷۲	۳	۰/۵	تحقیق کاردوسو [۱۱] زیست توده: چوب اکالیپتوس
	۵	۰/۵	
۰/۸۶۵	۷	۰/۵	

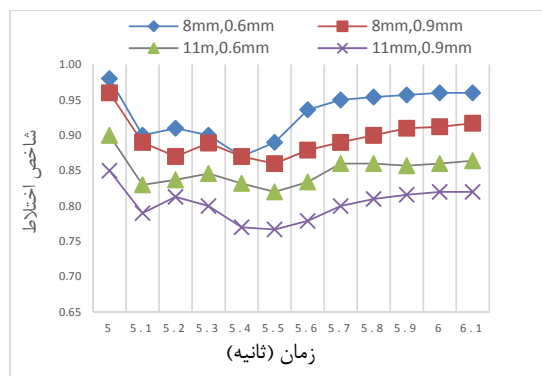
##### ۵- نتیجه‌گیری

در این تحقیق حلگر جدیدی با نام CCHF با استفاده از تعریف کلادهای جدید و ایجاد کتابخانه‌ی جدید با قابلیت اعمال نیروی بین ذرات در نرم افزار اپن فوم نوشته شد. به این ترتیب مدل-سازی فرآیند ااختلاط ذرات زیست توده با خروجی‌های بسیار دقیق تری قابل بررسی شد. نتایج عددی نشان داد که حلگر توسعه‌یافته می‌تواند به عنوان ابزاری مطمئن جهت طراحی و بهینه‌سازی فرآیند راکتورهای متراکم بستر شناوری استفاده شود. تأثیر عوامل عملیاتی، همچون سرعت ورودی جریان، نسبت دانسیته ذرات موجود در بستر و اندازه ذرات بر کیفیت ااختلاط مورد بررسی قرار گرفتند. نتایج نشان داد با افزایش سرعت ورودی تا حد معینی که نزدیک به ماکریزم سرعت شناوری است، میزان کیفیت ااختلاط بهبود قابل توجهی می‌یابد و به این ترتیب راندمان احتراق نیز بهبود می‌یابد که بسیار مورد توجه است.

همچنین با افزایش نسبت دانسیته ذرات موجود در بستر، یعنی کاهش تفاوت میان دانسیته ذرات ثابت بستر و ذرات زیست توده، کیفیت ااختلاط بهبود می‌یابد، که علت این امر خنثی شدن نیروهای داخل بستر و شناور ماندن بهتر ذرات زیست توده است. در نهایت با کاهش اندازه ذرات و نزدیک شدن



شکل ۱۲ تاثیر نسبت دانسیته ذرات زیست توده به دانسیته ذرات ثابت بستر بر کیفیت ااختلاط



شکل ۱۳ تأثیر اندازه ذرات بستر بر کیفیت ااختلاط

جهت بررسی اعتبارسنجی تحقیق حاضر، با توجه به اینکه تاکنون هیچگونه تحقیق کاملا مشابه عددی یا تجربی بر روی ذرات گروه D گلدارت در هندسه مشابه انجام نشده است، تنها می‌توان اثر اندازه ذرات بر کیفیت ااختلاط را در تحقیق حاضر با نتایج مرجع [۱۱] که در آن ذرات ثابت بستر شن و ذرات زیست توده چوب اکالیپتوس بوده‌اند، مقایسه نمود. این مقایسه در جدول ۴ نشان داده شده است و تطابق خوبی در روند تغییرات مشاهده می‌شود.

- production, *Chemical Engineering Science*, 62(1-2), 636-643, 2007.
- [2] Zhang. Y., Jin. B. & Zhong. W., Experimental investigation on mixing and segregation behavior of biomass particle in fluidized bed, *Chemical Engineering and Processing*, 48(3), 745-754, 2009.
- [3] Zhang. Y., Jin. B., & Zhong. W., Fluidization, mixing and segregation of a biomass-sand mixture in a fluidized bed, *International Journal of Chemical Reactor Engineering*, 6, 1-29, 2008.
- [4] Gera. D., Syamlal. M., & O'Brien. T. J., Hydrodynamics of particle segregation in fluidized beds, *International Journal of Multiphase Flow*, 30(4), 419-428, 2004.
- [5] Fan. R. & Fox. R. O., Segregation in polydisperse fluidized beds: Validation of a multifluid model, *Chemical Engineering Science*, 63(1), 272-285, 2008.
- [6] Gao. J., Chang. J., Lu. C. & Xu. C., Experimental and computational studies on flow behavior of gas-solid fluidized bed with disparately sized binary particles, *Particuology*, 6(2), 59-71, 2008.
- [7] Feng. Y. & Yu. A., Microdynamic modelling and analysis of the mixing and segregation of binary mixtures of particles in gas fluidization, *Chemical engineering science*, 62(1), 256-268, 2007.
- [8] R. Inder Singh., A. Brink. & M. Hupa., CFD modeling to study fluidized bed combustion and gasification, *Applied Thermal Engineering*, 52, 585-614, 2013.
- [9] Q. Miao. , J. Zhu., S. Barghi., C. Wu., X. Yin. & Z. Zhou., Modeling biomass gasification in circulating fluidized beds, *Renewable Energy*, 50, 655-661, 2013.
- [10] M.R. Karim. & J. Naser., Numerical modelling of solid biomass combustion: difficulties in initiating the fixed bed combustion, *Energy Procedia*, 110, 390-395, 2017.
- [11] J. Cardoso., V. Silvaa., D. Eusebioa., P. Britoa. & L. Tarelho., Improved numerical approaches to predict hydrodynamics in a pilot-scale bubbling fluidized bed biomass reactor: A numerical study with experimental validation, *Energy Conversion and Management*, 156 53–67, 2018.
- [12] S. Yang., H. Wu., W. Lin., H. Li. & Q. Zhu., An exploratory study of three-dimensional MPPIC-based simulation of bubbling fluidized beds with and without baffles, *Particuology* ,Vol. 39, 68-77, 2018.
- [13] Geldart. D., Types of gas fluidization, *Powder Technology*, 7(5), 285-292, 1973.
- [14] A. Akashi., A. Valera., M. Chong. & R. Marsha., CFD Analysis of the Fluidised Bed Hydrodynamic Behaviour inside an Isothermal Gasifier with different Perforated Plate Distributors, *Energy Procedia*, Vol. 142, 835-840, 2017.
- [15] T. Kadyrov., A. FeiLi. & W. Wang., Bubble-based EMMS/DP drag model for MP-PIC simulation, *Powder Technology* Vol. 372, 611-624, 2020.
- [16] D. Kong., S. Wang., K. Luo., C. Hu., D. Li. & J. Fan., Three-dimensional simulation of biomass gasification in a full-loop pilot-scale dual fluidized bed with complex geometric structure, *Renewable Energy*, 157 466-481, 2020.
- [17] S. Yanga., F. Fana., Y. Weia., J. Hua., H. Wang. & S. Wub., Three-dimensional MP-PIC simulation of the steam gasification of biomass in a spouted bed gasifier, *Energy Conversion and Management*, Vol, 157, 466-481, 2020.
- [18] T. Zhou., S. Yang., Y. Wei., J. Hu. & H. Wang., Impact of wide particle size distribution on the gasification
- اندازه ذرات بستر و ذرات زیست توده به یکدیگر، میزان کیفیت ااختلاط افزایش قابل توجهی می‌یابد.
- ## ۶- فهرست علائم
- |  |             |
|--|-------------|
| شتاب (m/s <sup>2</sup> )                           | A           |
| ضریب درگ   | $C_d$       |
| ضریب انتقال حرکت بین فاز (N/m <sup>3</sup> )       | $D_s$       |
| قطر (m)  | d           |
| نرخ انتقال حرکت بین فازی (N/m <sup>3</sup> )       | F           |
| تابع توزیع ذرات                                    | f           |
| سرعت متوسط جرم موضعی (m/s)                         | $f_D$       |
| اصطکاک ذره در واحد وزن                             | $F_s$       |
| شتاب جاذبه (m/s <sup>2</sup> )                     | g           |
| آنتالپی (J/kg)                                     | h           |
| جرم (kg)   | m           |
| فشار ترمودینامیکی گاز (Pa)                         | P           |
| ضریب ثابت  | $P_s$       |
| انتشار آنتالپی (W/m <sup>3</sup> )                 | $\dot{q}_D$ |
| منع ارزی تشعشعی (W/m <sup>3</sup> )                | $\dot{Q}$   |
| عدد رینولدز  | Re          |
| آنتالپی ناشی از تشعشع ناهمن (J / m <sup>3</sup> s) | $S_h$       |
| آنتالپی ناشی از تشعشع همگن (J / m <sup>3</sup> s)  | $S_{h,p}$   |
| زمان (S)   | t           |
| (دما) (K)  | T           |
| تنش تماش ذرات (Pa)                                 | $\tau_s$    |
| سرعت (m/s)   | u           |
- ## علایم یونانی
- |                                    |           |
|------------------------------------|-----------|
| کسر حجمی                           | $\theta$  |
| (Kg/m <sup>3</sup> )               | $\rho$    |
| تنش برشی (Pa)                      | $\tau$    |
| تانسور واحد                        | $\delta$  |
| ویسکوزیته برشی (Pa.s)              | $\mu$     |
| ضریب هدایت حرارتی (W/m.K)          | $\lambda$ |
| اتلاف ویسکوز (N/m <sup>2</sup> .S) | $\phi$    |
| ضریب ثابت                          | $\gamma$  |
| ضریب ثابت                          | $\beta$   |
- ## زیرنویس‌ها
- |               |    |
|---------------|----|
| گاز           | g  |
| منع           | S  |
| جامد          | s  |
| ذره           | p  |
| کمترین شناوری | mf |
- ## ۷- مراجع
- [1] Shen. L., Xiao. J., Niklasson. F., & Johnsson. F., Biomass mixing in a fluidized bed biomass gasifier for hydrogen

performance of biomass in a bubbling fluidized bed gasifier,  
*Renewable Energy*,  
<https://doi.org/10.1016/j.renene.2019.10.059>, 2020.

- [19] M.J. Andrews. & P.J. O'Rourke., The multiphase particle-in-cell (MP-PIC) method for dense particle flows, *Int. J. Multiphase Flow*, 22, 379–402, 1996.
- [20] P.J. O'Rourke. & D.M. Snider., An improved collision damping time for MP-PIC calculations of dense particle flows with applications to polydisperse sedimenting beds and colliding particle jets, *Chemical Engineering Science*, 65, 6014–6028, 2010.
- [21] G. Bokkers., M. van Sint Annaland. & J. Kuipers., Mixing and segregation in a bidisperse gas–solid fluidised bed: a numerical and experimental study, *Powder Technology*, 140(3), 176–186, 2004.
- [22] M. Sharifzadeh., M. Sadeqzadeh., M. Guo., T.N. Borhani., N.V.S.N. Murthy Konda., M.C. Garcia., L. Wang., J. Hallett. & N. Shah., The multi-scale challenges of biomass fast pyrolysis and bio-oil upgrading: Review of the state of art and future research directions, *Progress in Energy and Combustion Science*, 71, 1–80, 2019.
- [23] Z. Sun., B. Jin., M. Zhang., R. Liu. & Y. Zhang, Experimental studies on cotton stalk combustion in a fluidized bed, *Energy*, 33, 1224– 1232, 2008.
- [24] S.P. Babu., B. Shah. & A. Talwalkar, Fluidization correlations for coal gasification materials — minimum fluidization velocity and fluidized bed expansion ratio, *Chemical Engineering Progress Symp.*, 74, 176–186, 1978.
- [25] J. Davidson. & D. Harris, *Fluidization*, 1st ed. London: Academic Press, 1971.